

ПРИБЛИЖЕННОЕ РЕШЕНИЕ ЗАДАЧИ УСТОЙЧИВОСТИ МНОГОСЛОЙНОГО ЛИНЕЙНО ВЯЗКО-УПРУГОГО СТЕРЖНЯ

(Бакинский государственный университет)

Проблема устойчивости тонкостенных элементов конструкций занимает одно из центральных мест в механике деформируемых твердых тел. Это обстоятельство отражено в многочисленных исследованиях, проведенных в данной области [6; 5; 8]. Обеспечив устойчивость, можно быть уверенным в равновесии спроектированной конструкции и не опасаться разрушения ее элементов от различных воздействий. Наряду с явлением полного разрушения недопустимо и появление таких больших деформаций, которые помешали бы выполнению конструкцией ее прямых функций.

В последнее время в качестве несущих элементов широко используются тонкостенные стержни, изготовленные из композитных материалов, которым присуще свойство кусочной неоднородности по толщине. Это обусловлено, в частности, стремлением к экономии материала при одновременном уменьшении веса конструкции и изысканием дополнительных прочностных ресурсов. Некоторые задачи устойчивости и выпучивания многослойных стержней, изготовленных из линейно-упругого и нелинейно-упругого материалов рассмотрены в [3; 4].

В предлагаемой работе исследуется устойчивость шарнирно опертого по концам призматического, линейно вязко-упругого кусочно-неоднородного по толщине стержня. Численно выявлено влияние физико-механических и геометрических параметров на критическое время устойчивости.

1. Пусть стержень имеет поперечное сечение, состоящее из нескольких частей, соединенных между собой по всей его длине. При их жестком соединении стержень считается монолитным и его можно рассматривать как обычный, даже если он составлен из различных материалов. Поэтому допустим, что задан прямоугольный в плане стержень единичной ширины, длиной l и толщиной $2h$.

Для определенности введем в плоскости изгиба в рассмотрение декартову систему координат (x, z) с началом на левом торце стержня и направим ось x вдоль длины стержня. Положим теперь, что он составлен из s чередующихся различных по толщине слоев с различными модулями упругости E_{k+1} и функциями ползучести $D_{k+1}\{(t-t), s(t)\} [k = 0, 1, \mathbf{K}(s-1)]$, которые в дальнейшем будем считать линейными относительно напряжения:

$$D_{k+1}\{(t-t), s(t)\} = F'_{k+1}(t-t) s(t).$$

Полагаем, что раздел слоев осуществляется параллельно боковым граням стержня. Толщину каждого слоя обозначим через d_k . Таким образом $d_1 + d_2 + \dots + d_s = 2h$. В основу предлагаемой здесь теории сжатых многослойных стержней ставятся следующие предположения:

а) условия контакта между слоями пакета заключаются в их жестком сцеплении, из чего следует равенство на них перемещений, напряжения и отсутствие взаимного давления слоев;

б) процесс выпучивания происходит в плоскости стержня;

в) в силу тонкостенности нормальное напряжение S по толщине меняется по линейному закону.

Применимость и точность последнего допущения обоснована в [2]. В дальнейшем будем руководствоваться гипотезой плоских сечений Кирхгофа–Лява, при которой допущения а) выполняются автоматически.

При сделанных предположениях выпишем физическое соотношение для пакета в целом в виде одного равенства

$$e^f = \frac{S}{E_{k+1}} + \int_0^t F'_{k+1}(t-t) s(t) dt \quad a_k \leq z \leq a_{k+1}, \quad (1.1)$$

где штрих означает дифференцирование по параметру $t-t$,

$$a_k = -h + \sum_{i=0}^k d_i,$$

а d_0 принимается равным нулю. Для дальнейших целей конкретизируем вид $F'_{k+1}(t-t)$, задав его в экспоненциальном виде:

$$F'_{k+1}(t-t) = \frac{A_{k+1}}{E_{k+1}} e^{-a(t-t)}. \quad (1.2)$$

Здесь полагалось, что показатель ползучести a одинаков для всех слоев пакета.

Рассмотрим, теперь задачу об устойчивости выбранного нами сжатого силой N стержня, имеющего начальное несовершенство w_0 . Обозначая посредством u и w соответственно осевое перемещение и прогиб с учетом гипотезы плоских сечений, имеем:

$$e = u_{,x} + \frac{1}{2}(w_{,x}^2 - w_0^2) + z(w_{,xx} - w_{0,xx}), \quad (1.3)$$

где запятая указывает на дифференцирование по координате x . Решение задачи осуществим посредством вариационного метода [1]. Преимущество такого подхода состоит в возможности выявления таких явлений, которые не предсказываются при привлечении обычных методов классической математической физики. Теперь, с учетом нелинейности только по w , соответствующее выражение функционала приводится к следующему виду:

$$R = \int_{-h}^h \int_0^l \left\{ \mathcal{L}(u_{,x} + w_{,x}^2 + z w_{,xx}^2) + \frac{1}{2} S w_{,x}^2 \right\} dz dx - \\ - \int_0^l \sum_{k=0}^{s-1} \int_{a_k}^{a_{k+1}} \mathcal{L}^f dz dx + \frac{1}{2} \int_0^l \sum_{k=0}^{s-1} \int_{a_k}^{a_{k+1}} \frac{\mathcal{L}^2}{E_{k+1}} dz dx \quad (1.4)$$

Под точкой здесь и далее будем понимать дифференцирование по физическому времени t .

Тогда,

$$F''(t-t) = -a \frac{A_{k+1}}{E_{k+1}} e^{-a(t-t)},$$

для \mathcal{E} запишем:

$$\mathcal{E} = \frac{1}{E_{k+1}} \left\{ \mathcal{E} + A_{k+1} \left[s - a \int_0^t e^{-a(t-t)} s(t) dt \right] \right\}. \quad (1.5)$$

В силу соотношения (1.3) и замечая, что

$$\int_{-h}^h \mathcal{E} dz = N, \quad \int_{-h}^h \mathcal{E} z dz = M,$$

где M – изгибающий момент в сечении стержня, выполнив в (1.4) интегрирование по z , найдем:

$$R = \int_0^l \left\{ M(\mathcal{E}_{,x} + w_{,x} \mathcal{E}_{,x}) + M \mathcal{E}_{,xx} + \frac{1}{2} N \mathcal{E}_{,x}^2 \right\} dx - \int_0^l \sum_{k=0}^{s-1} \int_{a_k}^{a_{k+1}} \mathcal{E} \mathcal{E} dz dx + \frac{1}{2} \int_0^l \sum_{k=0}^{s-1} \int_{a_k}^{a_{k+1}} \frac{\mathcal{E}^2}{E_{k+1}} dz dx - N[\mathcal{E}(l) - \mathcal{E}(0)]. \quad (1.6)$$

При решении задачи устойчивости будем считать $N = const = -T$, и поэтому соответствующие члены в (1.6) выпадают. Следовательно,

$$R = \int_0^l \left\{ M \mathcal{E}_{,xx} - \frac{T}{2} \mathcal{E}_{,x}^2 \right\} dx - \int_0^l \sum_{k=0}^{s-1} \int_{a_k}^{a_{k+1}} \mathcal{E} \mathcal{E} dz dx + \frac{1}{2} \int_0^l \sum_{k=0}^{s-1} \int_{a_k}^{a_{k+1}} \frac{\mathcal{E}^2}{E_{k+1}} dz dx. \quad (1.7)$$

Подставляя (1.5) в (1.7), получаем

$$R = \int_0^l M \mathcal{E}_{,xx} dx - \frac{T}{2} \int_0^l \mathcal{E}_{,x}^2 dx - \frac{1}{2} \int_0^l \sum_{k=0}^{s-1} \frac{1}{E_{k+1}} \int_{a_k}^{a_{k+1}} \mathcal{E}^2 dz dx - \int_0^l \sum_{k=0}^{s-1} \frac{A_{k+1}}{E_{k+1}} \int_{a_k}^{a_{k+1}} s \mathcal{E} dz dx + a \int_0^l \sum_{k=0}^{s-1} \frac{A_{k+1}}{E_{k+1}} \int_{a_k}^{a_{k+1}} \mathcal{E} \left[\int_0^t e^{-a(t-t)} s(t) dt \right] dz dx. \quad (1.8)$$

Для получения окончательного вида функционала воспользуемся методом Релея–Ритца. С этой целью, удовлетворяя искомые функции w и M краевым условиям шарнирного опирания, в качестве первых собственных функций положим

$$w = a(t) \sin \frac{px}{l}, \quad M = b(t) \sin \frac{px}{l},$$

откуда после дифференцирования по t будем иметь:

$$\mathcal{E}_{,x} = \mathcal{A} \sin \frac{px}{l}, \quad M_{,x} = \mathcal{B} \sin \frac{px}{l}. \quad (1.9)$$

Положив в дальнейших рассуждениях

$$s = -\frac{T}{2h} + \frac{3z}{2h^3} M \quad \text{или} \quad \mathcal{E} = \frac{3z}{2h^3} M \quad (1.10)$$

и учитывая соотношения (1.9) и (1.10) в (1.8), после соответствующего интегрирования получим следующее аналитическое представление функционала:

$$R = -\frac{p^2}{2l} \mathfrak{A} - \frac{p^2}{4l} T \mathfrak{A} - \frac{9l}{16h^6} h_2 \mathfrak{B} + \frac{3Tl}{2ph^4} g_1 \mathfrak{B} - \frac{9l}{8h^6} g_2 b \mathfrak{B} + \frac{3Tl}{2ph^4} g_1 e^{-at} \mathfrak{B} + a \frac{9l}{8h^6} g_2 \mathfrak{B} \int_0^t e^{-a(t-t)} b(t) dt, \quad (1.11)$$

для которого справедливы следующие обозначения:

$$h_2 = \sum_{k=0}^{s-1} \frac{1}{E_{k+1}} \int_{a_k}^{a_{k+1}} z^2 dz, \quad g_j = \sum_{k=0}^{s-1} \frac{A_{k+1}}{E_{k+1}} \int_{a_k}^{a_{k+1}} z^j dz, \quad (j=1,2). \quad (1.12)$$

Варьированию в исследуемом функционале подлежат функциональные параметры \mathfrak{A} и \mathfrak{B} . Выражение (1.11) значительно упростится, если принять, что раздел слоев симметричен относительно срединной поверхности стержня. Из этого вытекает, что, $g_1 = 0$ и можно записать

$$R = -\frac{p^2}{2l} \mathfrak{A} - \frac{p^2}{4l} T \mathfrak{A} - \frac{9l}{16h^6} h_2 \mathfrak{B} - \frac{9l}{8h^6} g_2 b \mathfrak{B} + a \frac{9l}{8h^6} g_2 \mathfrak{B} \int_0^t e^{-a(t-t)} b(t) dt.$$

Условия стационарности данного функционала, соответствующие равенству нулю выражений:

$$\frac{\partial R}{\partial \mathfrak{A}} = 0 \quad \text{и} \quad \frac{\partial R}{\partial \mathfrak{B}} = 0,$$

приводят к следующей системе уравнений:

$$\mathfrak{B} = -T \mathfrak{A} \quad \text{откуда} \quad b = -Ta,$$

$$-\frac{p^2}{l} \mathfrak{A} - \frac{9l}{4h^6} h_2 \mathfrak{B} - \frac{9l}{4h^6} g_2 b + a \frac{9l}{4h^6} g_2 \int_0^t e^{-a(t-t)} b(t) dt = 0.$$

Комбинируя эти уравнения, можно записать

$$\mathfrak{A} \left(-p^2 + \frac{9l^2}{4h^6} T h_2 \right) + \frac{9l^2}{4h^6} T g_2 a - a \frac{9l^2}{4h^6} g_2 \int_0^t e^{-a(t-t)} a(t) dt = 0.$$

Введя следующие безразмерные величины

$$w = \frac{T}{T_{кр}} \quad \text{и} \quad y = \frac{a}{h},$$

где согласно [3]

$$T_{кр} = \frac{4p^2 h^6}{9l^2} h_2^{-1}$$

– критическая сила для неоднородного по толщине линейно-упругого стержня, последнее уравнение представим в форме

$$\mathfrak{A} \frac{g_2}{h_2} \frac{w}{1-w} \left\{ y - a \int_0^t e^{-a(t-t)} y(t) dt \right\} = 0. \quad (1.13)$$

Отметим, что дальнейшее рассмотрение вопроса об устойчивости для вязкоупругости имеет смысл, когда действующая нагрузка меньше критической, т. е. $w < 1$.

2. Учитывая формулу

$$\left\{ \int_0^t e^{-a(t-t)} y(t) dt \right\}^{\bullet} = y - a \int_0^t e^{-a(t-t)} y(t) dt,$$

уравнение (1.13) перепишем в виде

$$\left\{ y(t) - \frac{g_2}{h_2} \frac{w}{1-w} \int_0^t e^{-a(t-t)} y(t) dt \right\}^{\bullet} = 0,$$

откуда

$$y(t) - \frac{g_2}{h_2} \frac{w}{1-w} \int_0^t e^{-a(t-t)} y(t) dt = C. \quad (2.1)$$

Постоянную C надлежит определить из начального условия при $t=0$. Отсюда из (2.1) имеем $C = y(0) = y_0$. Величина y_0 представляет значение прогиба немедленно после приложения нагрузки. Следуя [3] она определяется по формуле

$$y_0 = \frac{y_0^{\vee}}{1-w}, \quad (2.2)$$

в которой y_0^{\vee} – задаваемый начальный эксцентриситет стержня. Обозначив

$$\frac{g_2}{h_2} \frac{w}{1-w} = b,$$

(2.1) запишем следующим образом:

$$y(t) - b \int_0^t e^{-a(t-t)} y(t) dt = y_0. \quad (2.3)$$

Теперь, приняв

$$a - \frac{g_2}{h_2} \frac{w}{1-w} = l, \quad \text{а} \quad b - a = -l,$$

можно сразу записать решение интегрального уравнения (2.3), а именно [7, 25]:

$$y(t) = y_0 \left\{ 1 + b \int_0^t e^{-l(t-t)} dt \right\}.$$

Вычисляя соответствующий интеграл, получим:

$$y(t) = \left\{ \left(1 - \frac{a}{l} \right) e^{-lt} + \frac{a}{l} \right\} y_0. \quad (2.4)$$

Из формулы (2.4) следует, что в зависимости от знака l возможны три варианта. Если $l \leq 0$, то наблюдается неограниченный рост прогиба во времени. Причем для $l < 0$ этот рост имеет экспоненциальный характер, а для $l = 0$ – линейный. Если же $l > 0$, то наблюдается ограниченный рост прогиба, причем его предельное значение определяется

$$\text{соотношением } y_* = y_0 \frac{a}{l} \quad \left(\frac{a}{l} > 1 \right).$$

3. Для численного анализа ограничимся случаем $l < 0$. Приведенное выше решение (2.4) в принципе применимо при любых значениях времени t . Однако большие прогибы в стержнях, являющихся элементами конструкций, недопустимы сами по себе. По-

этому разумно ограничить время службы стержня $t_{кр}$ условием достижения прогибом некоторой величины, фиксированной из тех или иных соображений, например $\tilde{y} = 1$. Это соответствует безразмерному прогибу, равному половине толщины. Согласно отмеченному находим:

$$1 = y_0 \left\{ \left(1 - \frac{a}{l} \right) e^{-l t_{кр}} + \frac{a}{l} \right\},$$

откуда для $t_{кр}$ запишем:

$$t_{кр} = -\frac{1}{l} \ln \left| \frac{l - a y_0}{l y_0 \left(1 - \frac{a}{l} \right)} \right|. \quad (3.1)$$

В качестве примера рассмотрим поведение трехслойного стержня ($s = 3$), обладающего следующей периодической структурой:

$$E_1 = E_3, \quad d_1 = d_3, \quad A_1 = A_3.$$

Введем дополнительные обозначения

$$E = \frac{E_1}{E_2}, \quad m = \frac{A_2}{A_1}, \quad k = \frac{d_2}{d_1}.$$

Исходя из этого по формулам для a_k имеем:

$$a_0 = -h, \quad a_1 = -\frac{d_2}{2}, \quad a_2 = \frac{d_2}{2}, \quad a_3 = h.$$

Отмеченное выше позволяет определить отношение g_2/h_2 , которое принимает вид:

$$\frac{g_2}{h_2} = A_1 \frac{1 + 1,5k + 0,75k^2 + 0,125Emk^3}{1 + 1,5k + 0,75k^2 + 0,125Ek^3}.$$

Теперь представим некоторые результаты вычислений, выполненных исходя из приведенной выше зависимости (3.1).

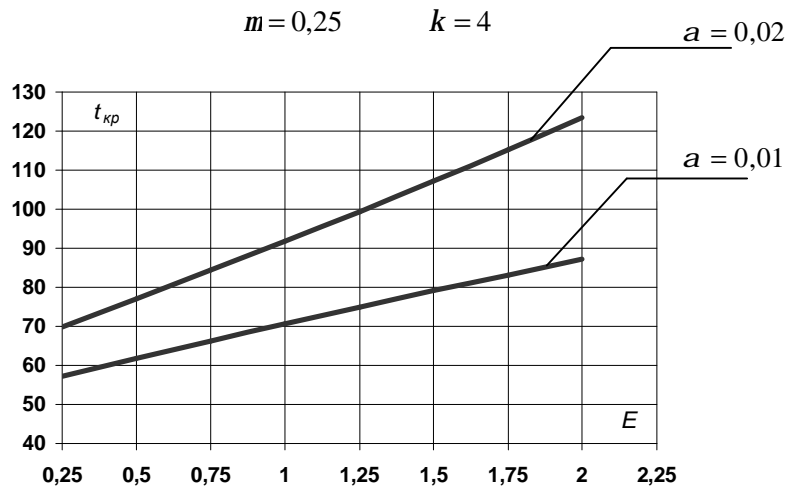


Рис. 1. Зависимость критического времени от E

$$E = 0,25 \quad k = 4$$

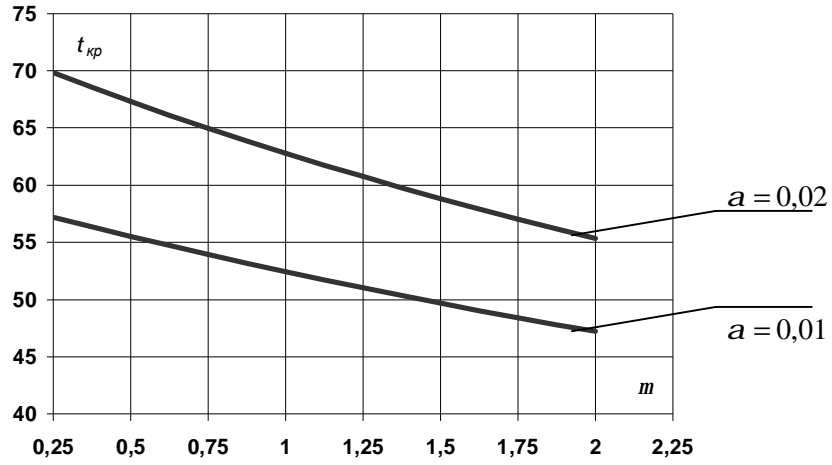


Рис. 2. Зависимость критического времени от b

$$E = 0,25 \quad m = 0,25$$

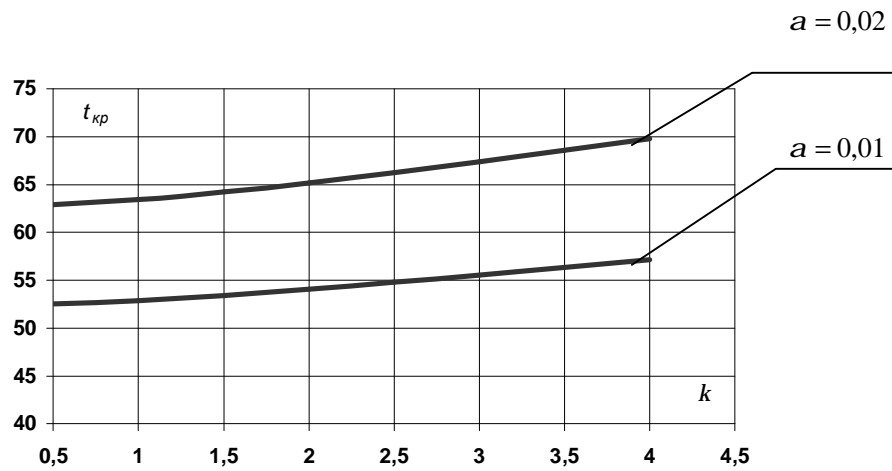


Рис. 3. Зависимость критического времени от k

На графике рис. 1 представлены кривые зависимости $t_{кр}$ от E для двух значений a . Отсюда видно, что увеличение отношения модулей упругости существенно увеличивает критическое время устойчивости. Причем с возрастанием a также возрастает и $t_{кр}$.

На рисунке 2 и 3 приведены аналогичные графики зависимости $t_{кр}$ от m и k . Здесь их влияние на критическое время менее существенно. Заметим, что в зависимости от m (с его увеличением) наблюдается уменьшение значений критического времени. Небезынтересно отметить, что для однородного стержня $t_{кр} = 52,43 \text{ сек}$ при $a = 10^{-2} \text{ сек}^{-1}$ и $t_{кр} = 62,78 \text{ сек}$, когда $a = 2 \cdot 10^{-2} \text{ сек}^{-1}$.

Таким образом, конструированием неоднородности можно увеличить (или уменьшить) критическое время устойчивости и тем самым, в определенном смысле, оптимизировать процесс.

ЛИТЕРАТУРА

1. Амензаде, Р. Ю. Вариационный метод механики гетерогенных нелинейно вязко-упругих твердых тел / Р. Ю. Амензаде, М. Б. Ахундов // Доклады РАН. – 2006. – Т. 410. – № 1. – С. 45–48.
2. Амензаде, Р. Ю. О точности линейного распределения напряжения в задачах выпучивания многослойных стержней / Р. Ю. Амензаде, Э. Т. Киясбейли // ДАН Азербайджана. – 2000. – № 4–6. – С. 72–77.
3. Амензаде, Р. Ю. Устойчивость неоднородного по толщине стержня из композитного материала / Р. Ю. Амензаде, С. А. Шестериков // МКМ. – 1992. – № 1. – С. 115–118.
4. Амензаде, Р. Ю. Предельное состояние жестко-зашемленного нелинейно-упругого многослойного стержня / Р. Ю. Амензаде, Э. Т. Киясбейли, А. Ф. Фатуллаева // МКМ. – 2006. – № 3. – С. 347–360.
5. Болотин, В. В. Неконсервативные задачи теории упругой устойчивости / В. В. Болотин. – М. : Физматгиз, 1961. – 339 с.
6. Вольмир, А. С. Устойчивость деформируемых систем / А. С. Вольмир. – М. : Наука, 1967. – 984 с.
7. Работнов, Ю. Н. Элементы наследственной механики твердых тел / Ю. Н. Работнов. – М. : Наука, 1977. – 383 с.
8. Хофф, Н. Продольный изгиб и устойчивость / Н. Хофф. – М. : Изд-во Ил., 1955. – 154 с.